

Bild C1: Radialgitter (Siemenssterne) N-W, W-N, N-Z und W-Z; PS-Operator: $w*lin\ 1.0\ exp\ setgray$

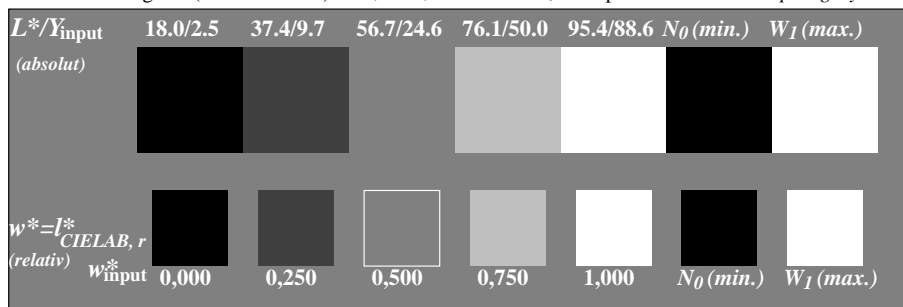


Bild C2: 5 visuell gleichabständige L^* -Graustufen + N_0 + W_1 ; PS-Operator: $w*lin\ 1.0\ exp\ setgray$

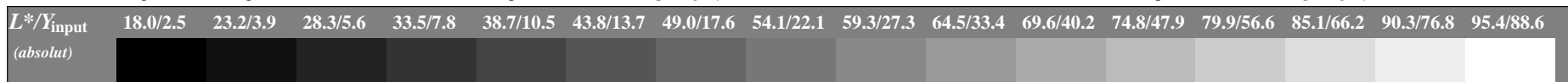


Bild C3: 16 visuell gleichabständige L^* -Graustufen; PS-Operator: $w*lin\ 1.0\ exp\ setgray$; benutze Datei www.bam.de/FG87/10T/T87G00NA.PS oder [/T87G00NP.PS](http://www.bam.de/T87G00NP.PS).PDF für DPS-/PDF-Systeme zur Bild-Ergänzung

ISO/IEC-Prüfvorlage Nr. 3 nach

ISO/IEC 15775 und input: $w*lin\ 1.0\ exp\ setgray$
DIS ISO/IEC 19839-X; output: $w*lin\ 1.0\ exp\ setgray$

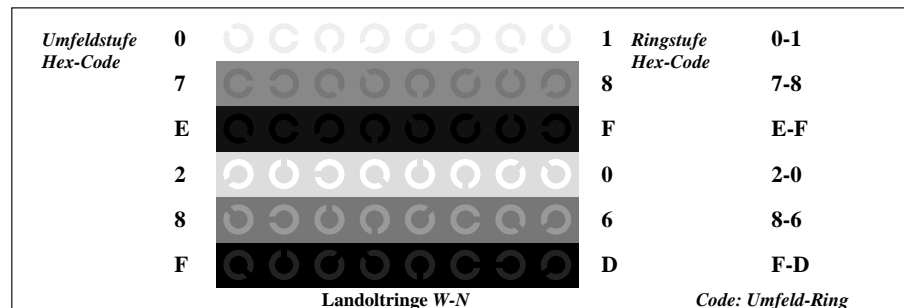


Bild C4: Landoltringe W-N; PS-Operator: $w*lin\ 1.0\ exp\ setgray$

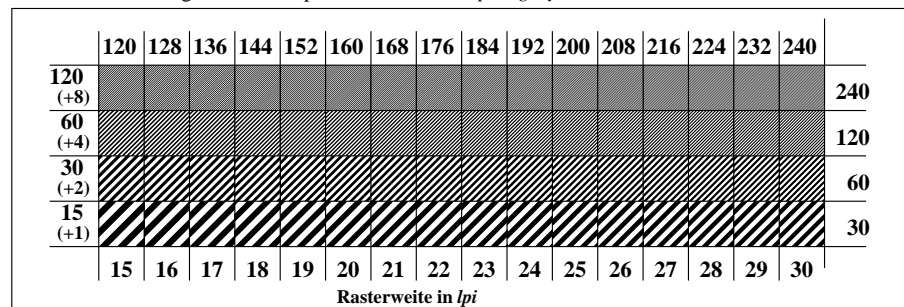


Bild C5: Linienraster unter 45° (oder 135°); PS-Operator: $w*lin\ 1.0\ exp\ setgray$

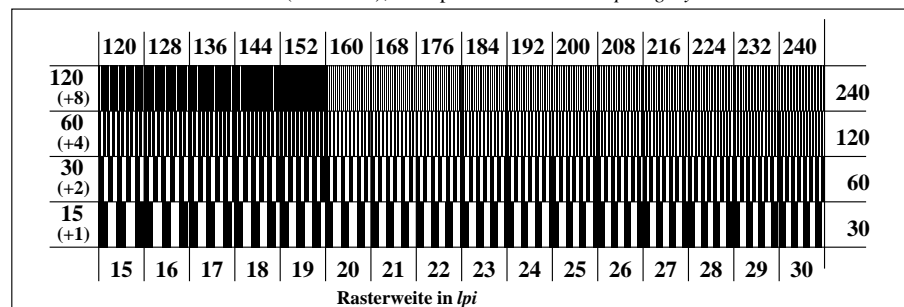


Bild C6: Linienraster unter 90° (oder 0°); PS-Operator: $w*lin\ 1.0\ exp\ setgray$